



# 이상치 탐지 성능 향상을 위한 MI-FGSM 데이터 증강 기법

장현석<sup>1</sup>, 정민성<sup>1</sup>, 이충호<sup>2</sup>, 허태욱<sup>2</sup> \*이상금<sup>1</sup>

\*국립한밭대학교<sup>1</sup>, 한국전자통신연구원<sup>2</sup>



논문 바로가기

EcoAI Lab

## Abstract

- (기후문제 및 이상치 탐지 필요성) 화공 산업은 국내 온실가스 배출의 상당 부분을 차지하며, 효과적인 온실가스 배출량 감축과 기후변화 대응을 위해 신뢰성 높은 전력 데이터 분석과 이상치 탐지가 필수적임.
- (클래스 불균형) 데이터 분석 결과, 정상 데이터 대비 이상치가 적은 클래스 불균형이 존재하였고 이는 탐지 결과의 신뢰성을 저해함.
- (데이터 증강 적용) 학습 데이터를 MI-FGSM에 적용해 생성된 적대적 샘플을 통해 이상치를 총당하고 두 클래스간 균형을 조절함.
- (성능 분석) MI-FGSM 파라미터인 최대 교란 크기  $\epsilon$ 과 모델의 탐지 성능 지표인 F1 점수간 상관관계를 분석함.
- ( $\epsilon$  임계값 도출)  $\epsilon$ 과 F1 점수의 상관관계 그래프를 통해 F1 점수의 성능이 낮아지는  $\epsilon$ 의 임계값을 도출하고 데이터 증강을 위한 MI-FGSM의  $\epsilon$  허용 범위에 대한 가이드라인을 제시함.

## Introduction & Research Background

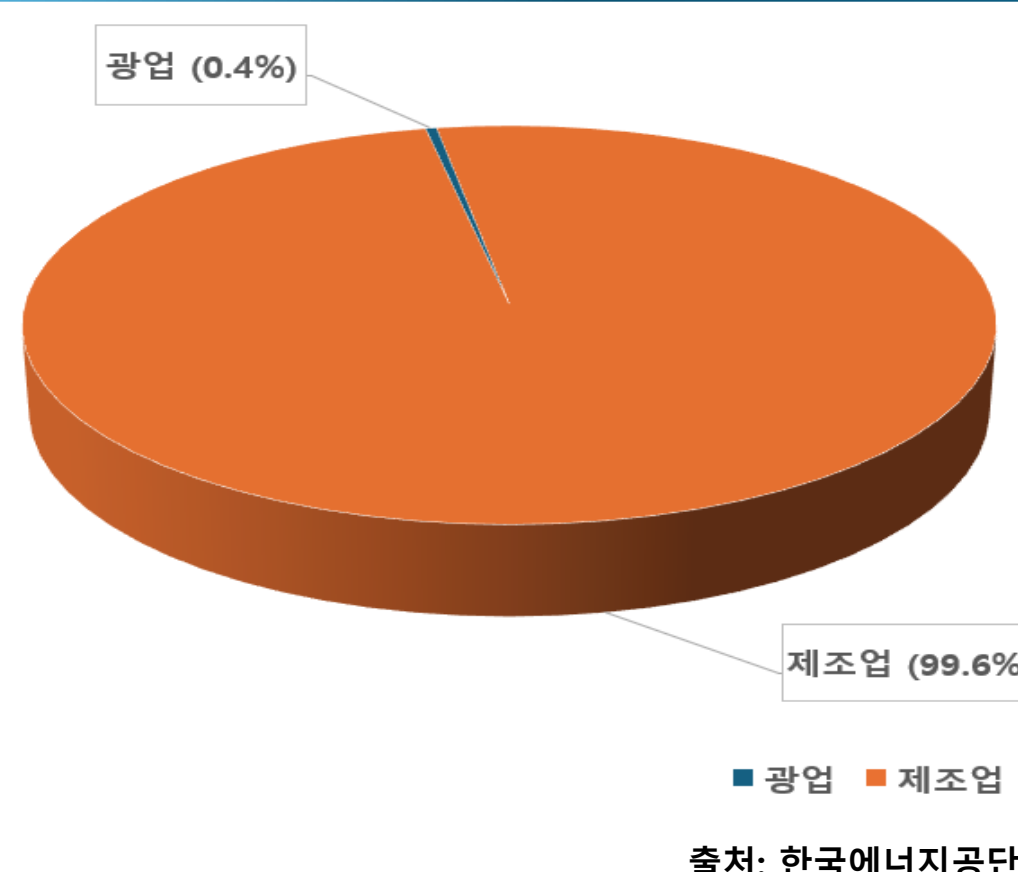


그림1. 산업부문 내 업종별 온실가스 배출 비율

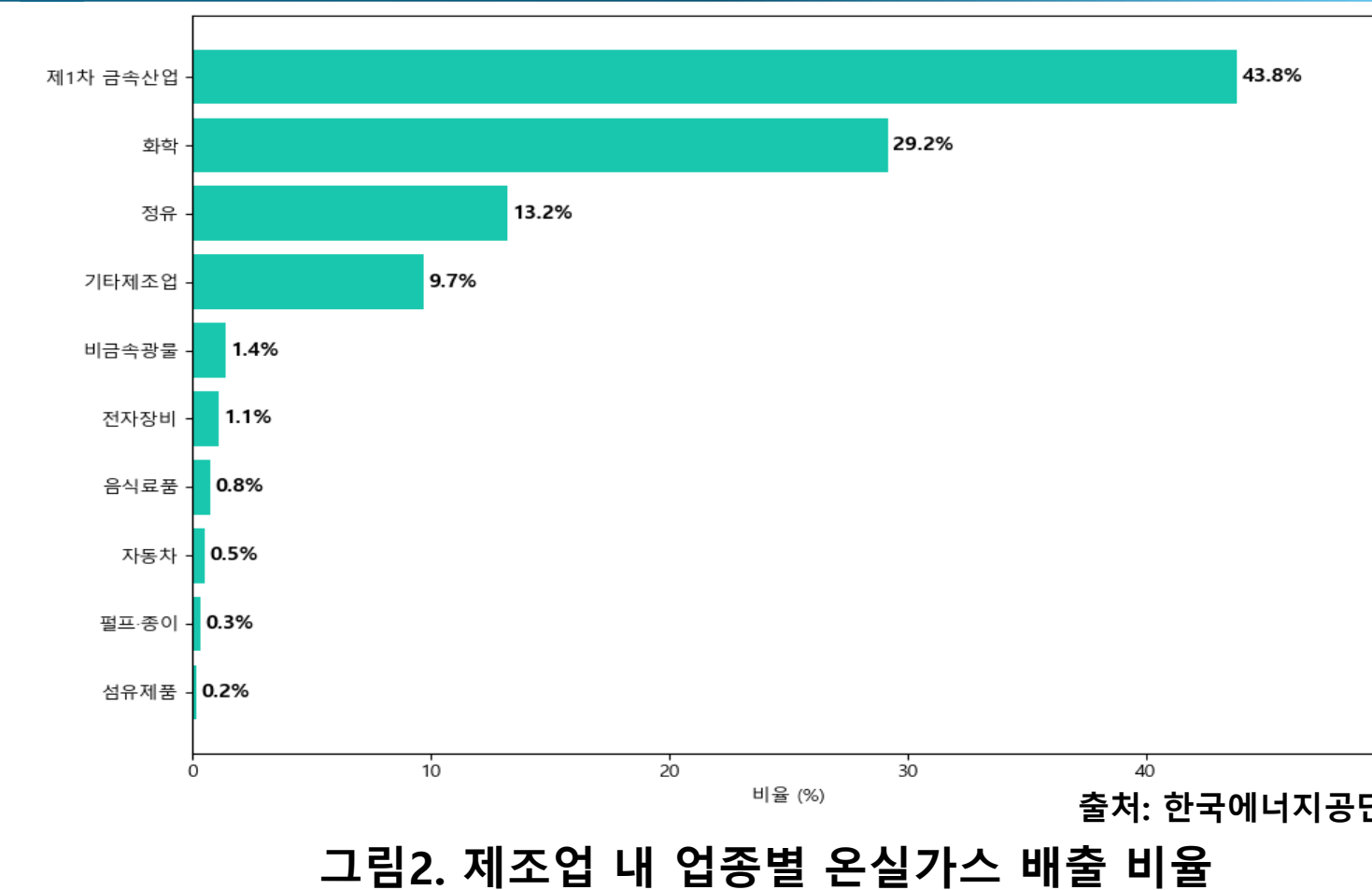


그림2. 제조업 내 업종별 온실가스 배출 비율

- (그림1) 산업 부문 내 제조업 99.6%, 광업 0.4%로 제조업이 매우 큰 비중을 점유함.
- (그림2) 제조업 중 금속, 화학, 정유, 기타 제조업이 총 95.9%를 차지하며, 그 중 화학 산업이 29.2%를 차지함.

## 실험 및 결과

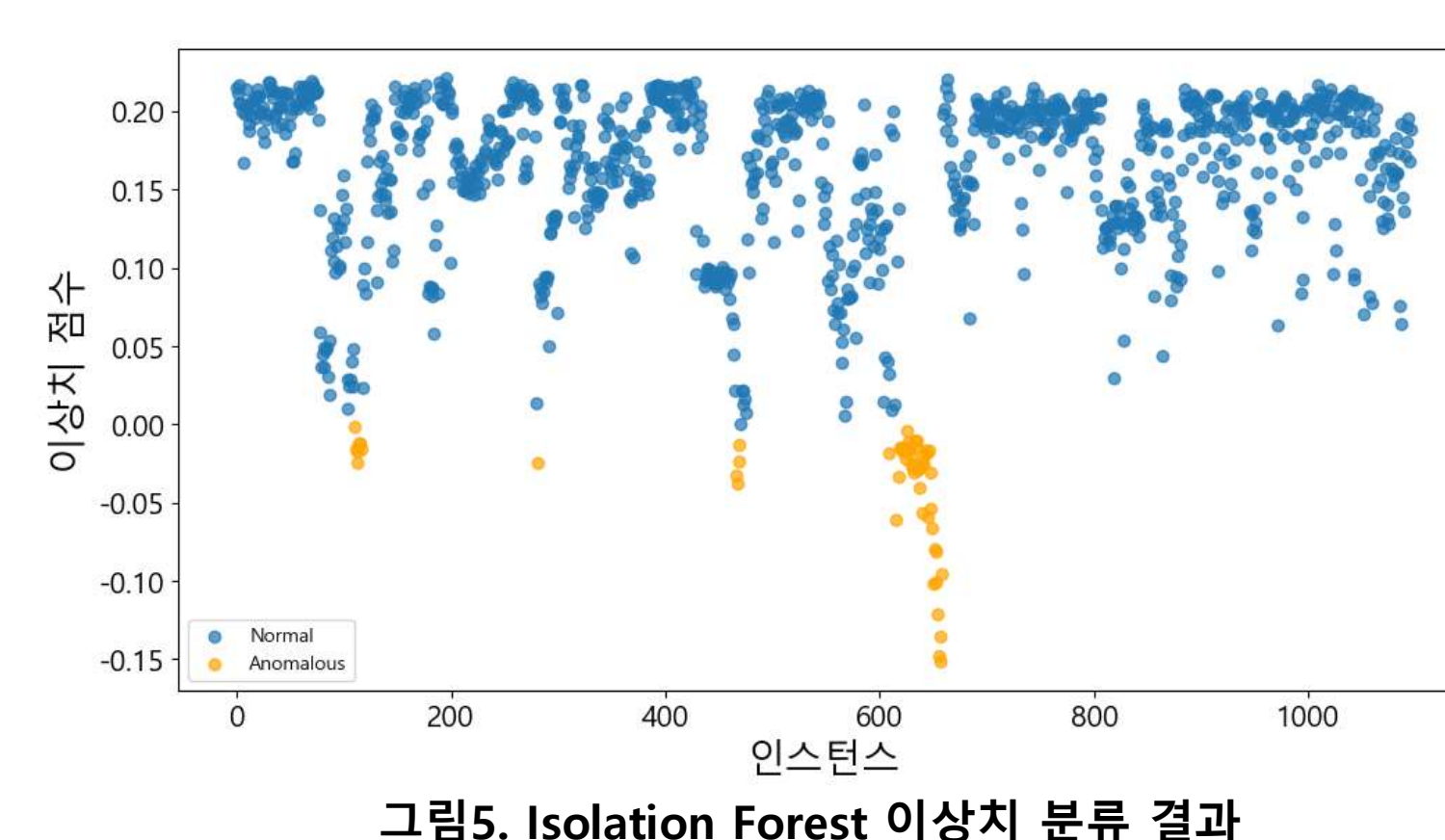


그림5. Isolation Forest 이상치 분류 결과

- (데이터셋)(그림5) 2020년 1월부터 2022년 12월까지 15분 단위로 수집된 전력 데이터 중 점유율이 높은 기업의 데이터를 사용함. Isolation Forest 분류 결과, 전체 1096개의 데이터 중 55개의 이상치가 존재함.

## LSTM-AE & MI-FGSM

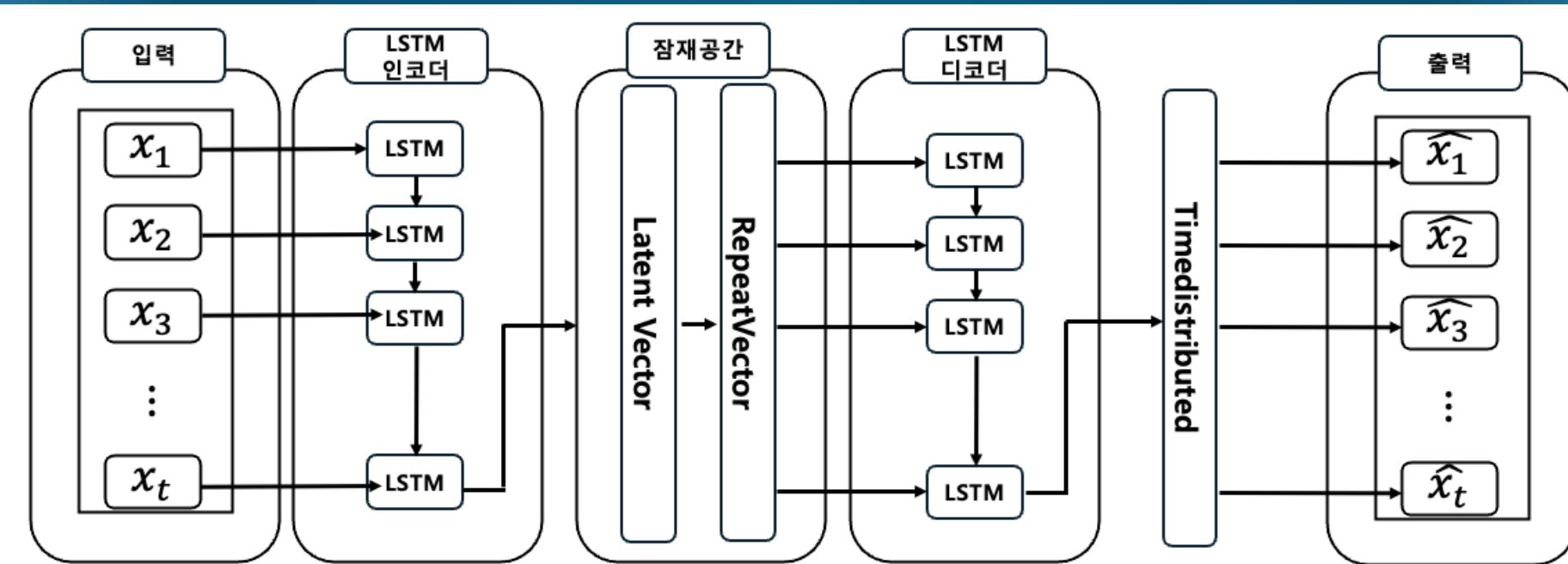


그림3. LSTM-AE 모델 구조

- (그림3) LSTM(Long Short – Term Memory)과 AE(AutoEncoder)의 결합 모델인 LSTM-AE 구조도이며, 각 층의 역할은 다음과 같음.

- (LSTM 인코더/디코더) 시계열 데이터의 시간 의존성을 반영하여 데이터 포인트를 순차적으로 처리함.
- (잠재공간) 인코더에서 데이터의 핵심 정보를 벡터 형태로 변환하고, RepeatVector에서 디코더의 입력 형태로 변환 함.

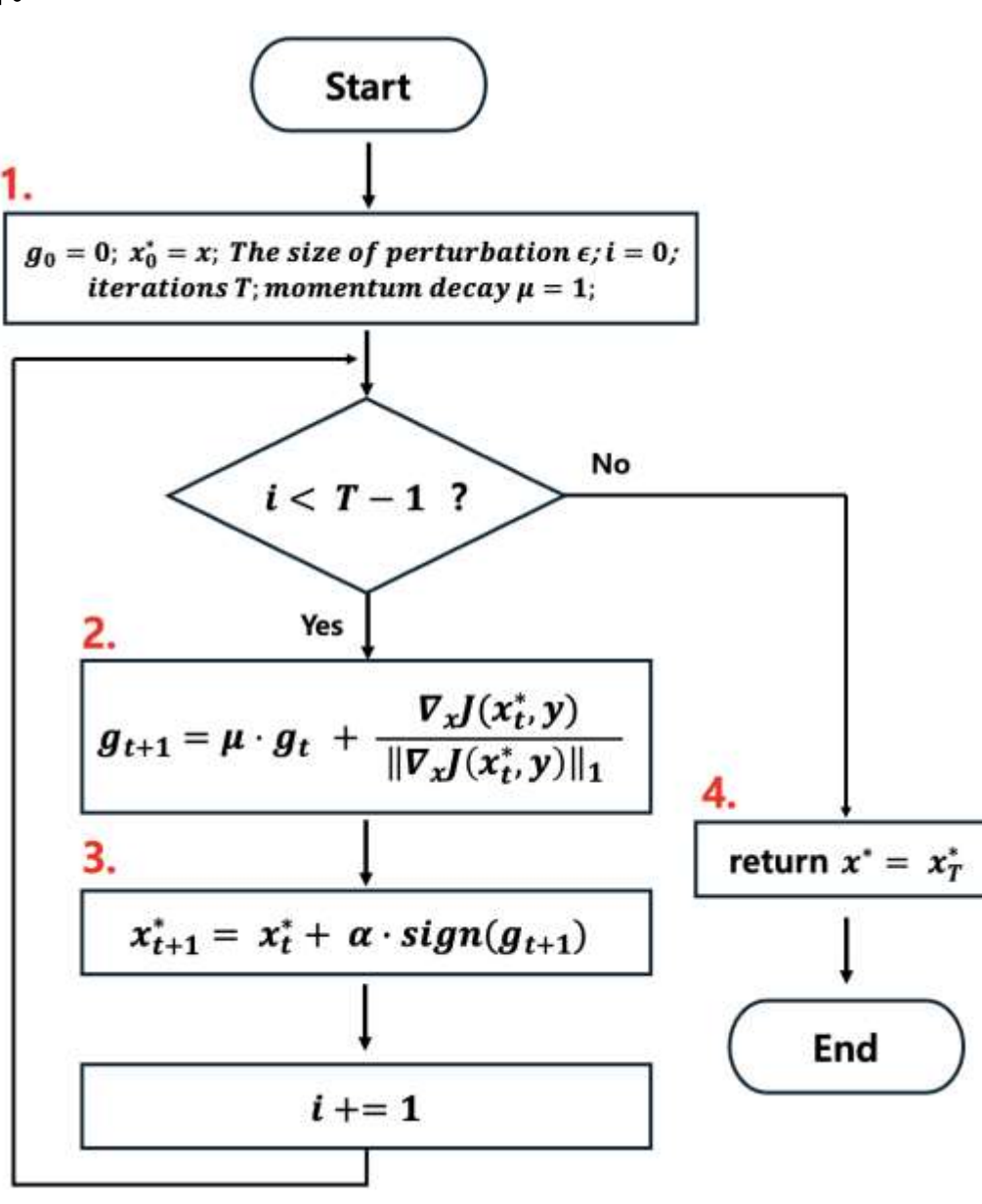


그림4. MI-FGSM 알고리즘 흐름도

데이터 형태와 동일하게 변환함.

- (1단계) 모멘텀 벡터  $g_0$ 과 적대적 샘플  $x_0$ , 교란 크기  $\epsilon$ , 반복 횟수  $T$ , 모멘텀 계수  $\mu$ , 카운터  $i$  선언함.
- (2단계) 시점  $t$ 의 모멘텀에  $\mu$ 를 곱한 값과 비용 함수  $J$ 의 적대적 샘플  $x_t$ 와 정답 레이블  $y$ 에 대한 입력 데이터  $x$ 의 그래디언트 방향 성분을 더해  $t+1$  시점의 모멘텀  $g_{t+1}$ 을 구함.
- (3단계) 시점  $t$ 의 적대적 샘플  $x_t$ 에  $g_{t+1}$ 의 방향으로  $\alpha$ 만큼 이동한 값을 더해  $t+1$  시점의 적대적 샘플  $x_{t+1}^*$ 을 생성함.
- 2,3 단계를 카운터의 조건 만족 시까지 반복함
- (4단계)  $T$ 번의 업데이트 과정으로 생성된 적대적 샘플  $x_T^*$ 을 반환.

- (그림6)  $\epsilon = 0.5$ 일 때 MI-FGSM으로 생성된 적대적 샘플은 대부분 재구성 오차의 임계값보다 큼. 기존 이상치 대비 정상 데이터에 근사한 분포를 보이며, F1 점수는 0.9778로 높은 성능이 나옴.

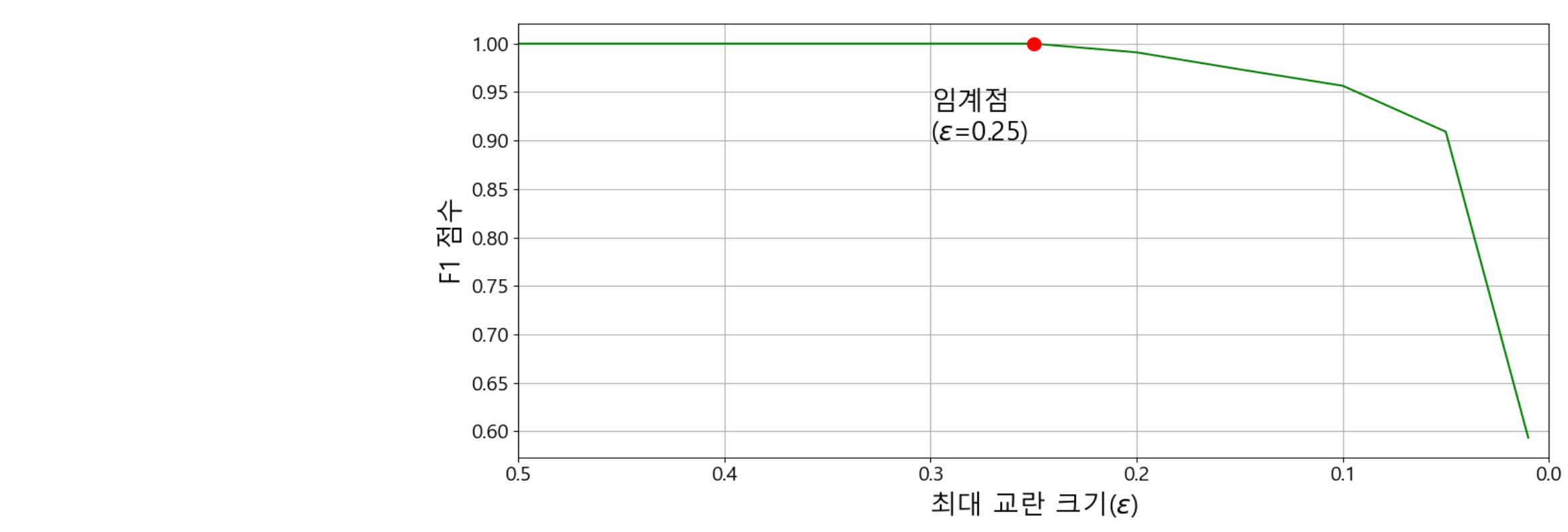


그림6. 이상치 탐지 재구성 오차 분포( $\epsilon = 0.5$ )

- (그림7)  $\epsilon = 0.01$  때의 재구성 오차는 그림 6와 달리, 적대적 샘플의 분포가 임계값과 현저하게 높은 유사성을 보임. 또한, F1 점수는 0.6907로  $\epsilon = 0.5$ 일 때 대비 0.2871이 감소함.

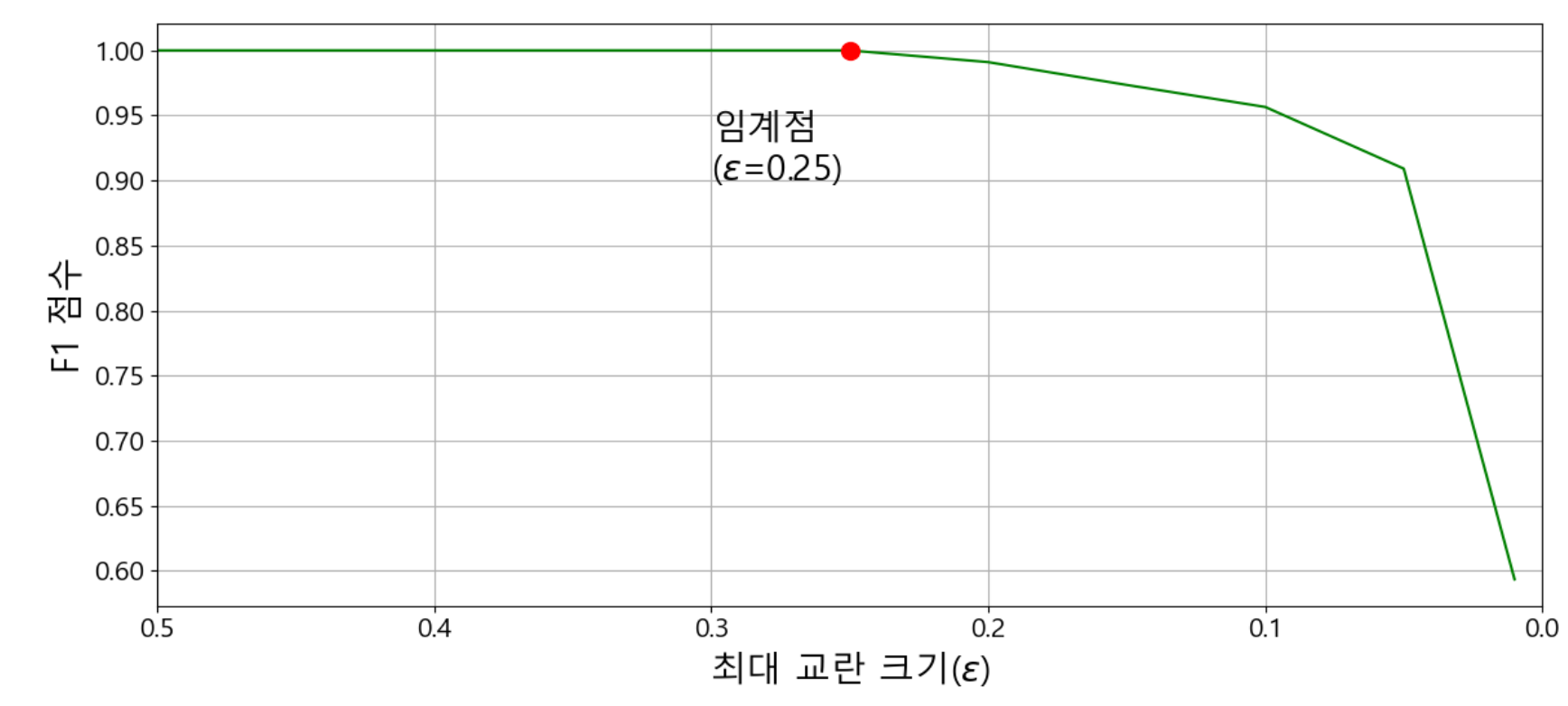


그림8.  $\epsilon$  와 F1 점수의 상관관계 그래프

- (그림8) 빨간색 점에 해당하는  $\epsilon = 0.25$  지점부터  $\epsilon$  값이 작아짐에 따라 F1 점수가 낮아지며, 0에 수렴할수록 급격하게 감소함.  $\epsilon$ 이 크면 노이즈의 교란 범위가 넓어져 이상치 탐지가 용이하지만,  $\epsilon$ 이 작아질수록 교란 범위가 좁아져 정상 데이터와의 구분 경계가 모호해짐. 따라서, F1 점수가 낮아지는 시작점인  $\epsilon = 0.25$ 를 실험 데이터의 임계값으로 선정함.

## 결론

- (연구 목표) 화공 산업 전력 데이터의 클래스 불균형을 해소하고, LSTM-AE의 이상치 탐지 성능에 대한 신뢰성을 향상하고자 MI-FGSM 기반 데이터 증강 방법론을 제안함.
- (실험 과정) 화공 산업 내 점유율이 높은 기업 데이터를 전처리 후,  $\epsilon = [0.5, 0.25, 0.1, 0.05, 0.01]$  범위에서 F1 점수를 비교함.
- (실험 결과)  $\epsilon = 0.5$ 에서 0.9778의 F1 점수를 달성한 반면,  $\epsilon$ 이 감소됨에 따라 F1 점수가 낮아지는 경향을 보였고,  $\epsilon = 0.01$ 에서는 F1 점수는 0.6907임.
- (시사점)  $\epsilon$ 과 F1 점수의 상관관계를 분석한 결과,  $\epsilon$ 이 임계값보다 낮아 교란 범위가 과도하게 좁을 경우 적대적 샘플과 정상 데이터간 구분이 불분명하여 탐지 성능이 저하됨.

## 향후 연구

- (일반화 검증) 다양한 데이터셋에서 MI-FGSM 기반 데이터 증강을 적용해 일반화를 검토할 필요가 있음.
- (적대적 학습 적용) 적대적 학습과 이상치 탐지 과정을 하나의 파이프라인으로 통합하는 End-to-End 구조로 탐지 성능을 최적화하고자 함.
- (산업체별 특성 기반 최적화) 다양한 산업체의 고유한 특성에 적합하도록 모델을 조정·적용하여, 산업체의 적용가능성 및 운영 효율 향상에 기여함.